

(29) 高温におけるコークス灰分のガス化反応と形態変化

住友金属工業(株) 中央技術研究所 ○山縣千里 梶原義雅 永田真資
須山真一

I 緒言

高炉内の溶銑中へのSi移行経路は $\text{SiO}(g)$ を媒介とする反応が主体であり、 $\text{SiO}(g)$ 発生源はコークスおよびスラグであると報告されている。しかし、従来、コークス灰分からの $\text{SiO}(g)$ 発生反応機構の検討例は少なく¹⁾、今回、高温領域における灰分のガス化反応およびコークス生地の変化もあわせて検討した。

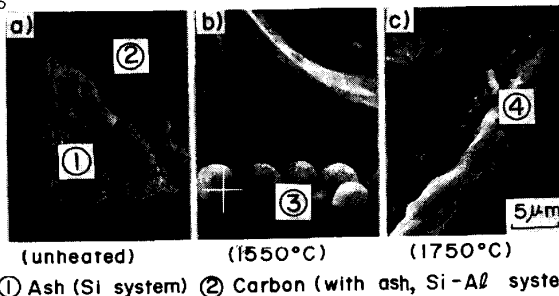
II 実験方法

加圧雰囲気調整高周波炉を用いて、黒鉛るっぽ中に実炉装入前コークス(グラインダで 40 mm^{ϕ} に成型、試料重量 35 g 、 $1200\text{ }^{\circ}\text{C}$ 真空中で予備乾燥)をセットし、実験温度で20分間保持した後、冷却した。実験条件は、全圧 P_T ($49, 294\text{ kPa}$ (i.G))、温度 T ($1350\sim1750\text{ }^{\circ}\text{C}$) を変化させ、Arガス流量は 20 Nl/min 一定とした。反応による重量減少、反応後コークスの各種調査(L_C , MSI_{65} , 電顕観察等)、反応後コークス灰分の調査(組成分析・X線回折)を実施した。

III 実験結果および考察

1) コークス灰分存在形態の変化

a. 電顕により、装入前コークス中に SiO_2 系灰分と $\text{SiO}_2 + \text{Al}_2\text{O}_3$ 系灰分が確認された。(Photo 1 a))



b. 温度上昇および全圧低下によって、 SiC 生成速度、 $\text{SiO}(g)$ 発生速度は共に上昇する。(Fig. 1) Photo 1 SEM micrograph of coke.

c. $1550\text{ }^{\circ}\text{C}$ の試料ではコークス生地中の微細灰分が溶融して球状でしみ出し(Photo 1 b))、さらに温度が上昇すると灰分の溶融が進展しコークス生地との反応が促進されるため、亀裂が発生しているのが観察された。(Photo 1 c))

2) コークス生地の変化

a. 温度の上昇に伴い、黒鉛化(L_C 上昇)が進行している。(Fig. 2)

b. また、気孔壁の強度を表わすミクロ強度(MSI_{65})も上昇傾向にある。(Fig. 2)

3) コークス塊としての変化

a. 温度の上昇に伴い気孔体積は増大している。特に $1750\text{ }^{\circ}\text{C}$ での気孔体積増大が大きい。(Fig. 3)

b. 引張強度は $1550\text{ }^{\circ}\text{C}$ で極大となり、 $1750\text{ }^{\circ}\text{C}$ で再び低下している。(Fig. 2)

4) まとめ

灰分の溶融する温度域で $\text{SiO}(g)$ 発生量と共に SiC 生成量が急増し、コークス灰分周囲の組織が浸食されるため、灰分のガス化は塊コークスの高温強度にも影響を及ぼす一要因になると推定された。

N 結言

今後さらに、 $\text{SiO}(g)$ 発生反応機構の解明をはかると共に、コークスの高温強度に及ぼす灰分の影響を定量化する予定である。

(参考文献) 1) 佐藤ら: 鉄と鋼 67 (1981) S. 76

2) 奥山ら: 鉄と鋼 69 (1983) A161

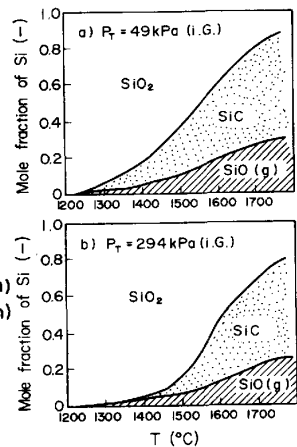


Fig. 1 Change of SiO_2 in coke

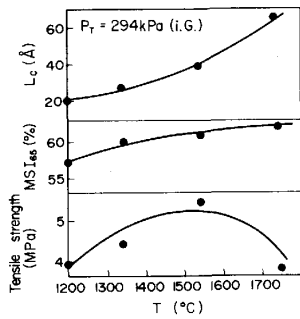


Fig. 2 Coke properties after reaction.

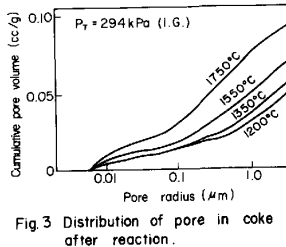


Fig. 3 Distribution of pore in coke after reaction.